

Trojfázové skratové prúdy na svorkách synchrónneho generátora určené podľa normy STN EN 60909-0 a pomocou matematického modelu synchrónneho generátora

Synchrónne stroje sú nevyhnutnou súčasťou elektrizačnej sústavy, plnia rad dôležitých úloh súvisiacich s výrobou elektrickej a mechanickej energie, premenou jednej formy energie na inú, riadením napäťa, kompenzáciou účinníka a pod. Článok sa zaobráva výpočtom skratových pomerov po vzniku trojfázového symetrického skratu na svorkách turboalternátora. V prvej časti článku je znázornený postup matematického modelovania elektromagnetických vlastností synchrónneho stroja. Matematický opis synchrónneho stroja je sprevádzaný zavedením dq0 transformácie a systému pomerných jednotiek, čo vedie k vzniku komplexného analytického modelu: sústavy diferenciálnych rovnic prvého rádu s konštantnou pravou stranou. V ďalšej kapitole je riešený výpočet skratových prúdov v sieti so synchrónnymi generátormi určený podľa normy STN EN 60909-0. Záver porovnáva hodnoty nárazového skratového prúdu a ekvivalentného otepľovacieho skratového prúdu získané analytickým riešením pre rôznu veľkosť a účinník záťaže pripojenej na svorky synchrónneho generátora pred vznikom trojfázového skratu s hodnotami vypočítanými pomocou normy STN EN 60909-0.

V závere
sú porovnané

Kľúčové slová: turboalternátor; modelovanie synchrónneho stroja; dq0 transformácia; pomerné jednotky synchrónneho stroja; výpočet skratového prúdu

Synchronous machines are an essential part of the power system, they perform a number of important tasks related to the production of electrical and mechanical energy, energy conversion, voltage control, power factor compensation and so on. The article deals with the calculation of short-circuit conditions after a three-phase symmetrical short-circuit at the terminals of the round-rotor synchronous generator. The procedure of mathematical modeling of electromagnetic properties of the synchronous machine is shown in the first part of the paper. The mathematical description of the synchronous machine is related to the application of the direct-quadrature-zero transformation and the per unit system to create a complex analytical model: a system of the first order linear differential equations with the constant right side. The calculation of short-circuit currents in the network with synchronous generators determined according to the standard STN EN 60909-0 is solved in the next chapter. The conclusion compares values of the peak short-circuit current and the equivalent thermal short-circuit current obtained from the analytical solution for the different size and power factor of load connected to the terminals of the synchronous generator before the three-phase short-circuit with the values calculated by the standard STN EN 60909-0. (Three-phase short-circuit currents at the terminals of a synchronous generator determined according to the standard STN EN 60909-0 and using the mathematical model of the synchronous generator)

Keywords: round-rotor synchronous generator; modeling of a synchronous machine; direct-quadrature-zero transformation; per unit system of a synchronous machine; calculation of short-circuit current

I. ÚVOD

Synchrónne generátory predstavujú základný článok vo výrobe elektrickej energie v elektrizačnej sústave. Komerčné zrodenie synchrónneho generátora možno datovať na rok 1891, kedy sa uskutočnil prvý striedavý diaľkový prenos elektrickej energie z Lauffenu do Frankfurtu (Nemecko, dĺžka 175 km, vedenie 20 kV). Mnoho veľkých celkov (záťaží) je poháňaných práve synchrónnymi motormi. Synchrónne kompenzátorov sú využívané na kompenzáciu jalového výkonu a riadenie napäťa. Tieto tri zariadenia pracujú na rovnakom princípe a skupinovo sú pomenované ako synchrónne stroje [1].

Základným prevádzkovým stavom každej elektrizačnej sústavy (teda aj synchrónneho stroja) je jej ustálený chod spočívajúci v rovnovážnom stave prevádzkových (stavových, elektrických a mechanických) veličín systému. Lubovoľná zmena prevádzkových parametrov systému má za následok narušenie ustáleného chodu (rovnovážneho stavu), v dôsledku čoho vzniká prechodný jav.

Prechodné javy v elektrizačnej sústave vznikajú vždy pri jej prechode z jedného ustáleného stavu do nového ustáleného prevádzkového stavu alebo počas prechodného javu, keď niektorý prevádzkový parameter zmení svoju hodnotu tak, že nedôjde k obnoveniu rovnovážneho stavu, ale dôjde k tzv. nestabilite sústavy (napr. stratie synchronizmu jedného z paralelne pracujúcich generátorov). Na opis správania sa synchrónneho generátora v takýchto podmienkach je dôležité určiť jeho ustálený stav, ale tiež charakterizovať jeho dynamický chod počas prechodných dejov [1], [2].

Jednou z najčastejších príčin vzniku elektromagnetických prechodných javov v elektrizačnej sústave sú skraty. Vznik skratového prúdu predstavuje zmenu normálneho stavu, ktorá má za následok odpovedajúcu zmenu napäťa a prúdu. Prechod z normálneho stavu do ustáleného stavu neprebieha okamžite. Skrat predstavuje porušenie rovnováhy energií, ktoré sú akumulované v indukčnostiach a kapacitách obvodov a trvá určitý čas, kym sa táto rovnováha obnoví. Pri skrate sa celková impedancia siete zmenšuje a narastá prúd, čo

d-0s

q-0s (pojomnosť, 1. j. bez medzičias pred a za pojmomnosťom)

vedie k zníženiu napäťia v miestach blízkych skratu. Ideálny (dokonalý) skrat je charakterizovaný nulovou (resp. zanedbateľne malou) impedanciou v mieste skratu. Skratový prúd vyvolaný dokonalým skratom je vždy väčší ako skratový prúd spôsobený nedokonalým skratom (vytvoreným cez impedanciu, ktorú nemožno zanedbať), ak sa uvažujú rovnaké podmienky vzniku skratu. Preto sa pre stanovenie najvyšších skratových prúdov uvažuje dokonalý skrat. Ak sú skratom postihnuté všetky tri fázy, hovorí sa o symetrickom skrate. Všetky ostatné skraty sa radia medzi nesymetrické [3], [4], [5].

Norma STN EN 60909-0 definuje symetrické a nesymetrické skratové prúdy v trojfázových striedavých sústavách nízkeho napäťia a v trojfázových striedavých sústavách vysokého, veľmi vysokého a zvlášť vysokého napäťia pri menovitej frekvencii 50 Hz alebo 60 Hz. Norma STN EN 60909-0 stanovuje základné, použiteľné a stručné postupy vedúce k daným výsledkom s prijateľnou presnosťou [6].

II. MATEMATICKÝ MODEL SYNCHRÓNNEHO STROJA NA ÚČELY VÝPOČTU SKRATOVÝCH PRÚDOV

Pozn.

Modelovanie a analýza synchrónnych strojov bola vždy výzvou. Problém sa začal skúmať v dvadsiatych a tridsiatych rokoch minulého storočia a je dodnes predmetom rôznych štúdií. Jestvuje značné množstvo literatúry riešiace problematiku synchrónnych strojov v oblasti elektroenergetiky. Výskum v oblasti synchrónnych strojov je zvyčajne založený na intuícii, skúsenostach a rokoch praxe. Publikácie jednotlivých autorov sa odlišujú zaužívaným označením, vztahmi a spôsobom výpočtu, ktoré vedú k mierne odlišným výsledkom [7]-[12]. Existuje taktiež mnoho softvérov na analýzu, plánovanie, optimalizáciu a simuláciu normálnych a poruchových ustálených stavov a prechodných dejov súčasťí naprogramovanými elementmi a užívateľským rozhraním, ktoré umožňujú modelovať synchrónne stroje a ďalšie prvky tvoriace elektrizačnú sústavu [13], [14].

Synchrónny stroj je definovaný ako striedavý točivý elektrický stroj, pri ktorom je efektívna hodnota indukovaného napäťia priamo úmerná počtu otáčok magnetického poľa. Synchrónny stroj pozostáva z dvoch základných častí: rotora a statora. V synchrónnom stroji sú otáčky otáčavého magnetického poľa synchrónne (zhodné) s otáčkami rotora.

Ak pracuje synchrónny stroj ako generátor (alternátor), pohonný stroj (turbína) otáča rotorom, na ktorom je umiestnené budiace vinutie. Budiacim vinutím preteká jednosmerný prúd produkujúci točivé magnetické pole, ktoré indukuje trojfázové napätie vo vinutí statora (kotvy). Ak sa generátor začíni, začne jeho trojfázovým statorovým vinutím pretekáť prúd, čím sa vytvorí druhé otáčavé magnetické pole. Statorové vinutie (magnetický tok vyvolaný prúdom pretekajúcim statorovým vinutím) späťne pôsobí proti hlavnému magnetickému toku (vyvolanému budiacim prúdom a otáčaním rotora pohonným zariadením). Tento jav sa nazýva reakcia kotvy (statora), ktorá je potláčaná vinutiami amortizérov (tlmičov) umiestnenými na rotore [7], [15], [17]. Pri začačení alternátora sa otáčky rotora nezmenia, iba dochádza k fázovému posunu medzi osou statorového točivého magnetického poľa (toku) a osou rotorového magnetického poľa (rotor, predbieha stator, statorové magnetické pole zaostáva za rotorovým v dôsledku reakcie kotvy). Tento fázový posun je definovaný vnútorným (zátažovým) uhlom δ , vyjadreným v stupňoch ($^\circ$) alebo radiánoch (rad). Inak povedané, zátažový uhol δ , vyjadruje fázový posun medzi vnútorným indukoványm napäťím

(naprázdno) na statore (od rotorového magnetického poľa) a svorkovým napäťím synchrónneho generátora (od magnetického poľa vyvolaného statorovým prúdom).

Z hľadiska konštrukcie rotora a závislosti na rýchlosťi jeho otáčok sa rozlišujú dva typy synchrónnych generátorov: s vyjadrenými pólmí alebo s hladkým rotorom. Vodné turbíny pracujú pri nižších rýchlosťiach, využívajú sa pre pohon strojov s viacerými vyjadrenými pólmí. Tieto synchrónne generátory sa nazývajú hydroalternátory. Parné turbíny umožňujú pohon synchrónnych strojov s vyšším počtom otáčok za jednotku času. Ide o stroje s hladkým rotorom, ktoré sú označované ako turboalternátory [12], [16]. Synchrónna rýchlosť (otáčky za jednotku času) je definovaná ako [1], [16]:

$$n_s = \frac{f}{p} \text{ (ot/s), (s}^{-1}\text{), } [\text{ot}^{-1}; \text{-}] \quad (1)$$

$$n_s = \frac{60f}{p} \text{ (ot/min), (min}^{-1}\text{), } [\text{ot}^{-1}; \text{min}^{-1}; \text{-}] \quad (2)$$

kde

f je frekvencia (Hz),

p je počet pólových dvojíc (párov) na rotore (-).

Odvodenie matematického modelu (rovníc) synchrónneho generátora vychádza z jeho konštrukcie. Na Obr. 1. sú znázornené náhradné elektrické obvody rotora a statora synchrónneho generátora, kde

U, V, W je index pre veličiny statora (vzťahnuté na fázy U, V, W),

i_d je index pre veličiny budiaceho vinutia,

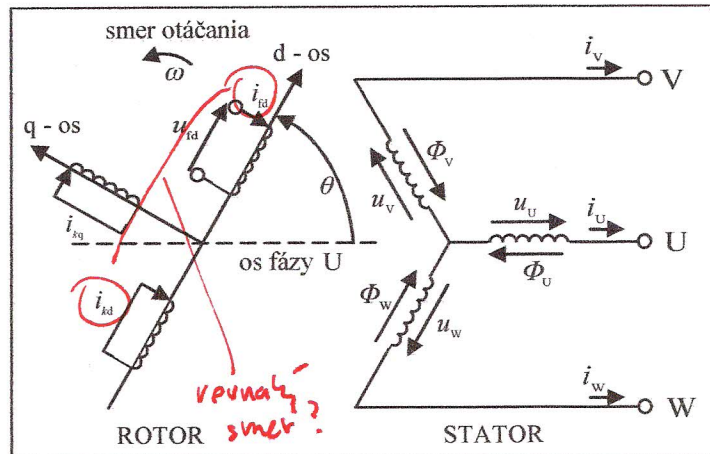
k je index pre počet vinutí amortizérov (1 až 2),

kd je index pre veličiny vinutí amortizérov v d - osi,

kq je index pre veličiny vinutí amortizérov v q - osi,

θ je uhol medzi d - osou a osou fázy U (rad) alebo ($^\circ$),

ω je uhlová rýchlosť (s^{-1}) [1], [18], [19].



Obr. 1. Elektrické obvody rotora a statora synchrónneho generátora.

Podľa Obr. 1. sa uvažuje (ak pracuje synchrónny stroj ako generátor), že prúd tečúci vinutiam statora vystupuje zo stroja. Čo sa týka budiaceho prúdu a prúdov tečúcich v amortizéroch, berie sa do úvahy kladná polarita smerom do stroja. Na Obr. 1. sú vinutia rotora umiestnené v dvoch osiach [1], [17]-[19]:

- v pozdĺžnej d - osi, magneticky situovanej do centra severného pólu
- a priečnej q - osi, osi kolmej na pozdĺžnu d - os.

Uhol θ (na Obr. 1.) súvisí s polohou (otáčaním) rotora stroja vzhľadom na stator, teda s uhlovou rýchlosťou ω . Platí [1], [17]:

$$\theta = \omega t + \theta_0 \quad (\text{rad}), \quad (3)$$

kde

t je čas (s),

θ_0 je hodnota uhla θ v čase $t=0$ s.

ognomické
[... | ...]

Pri tvorbe základných rovnic opisujúcich elektromagnetické správanie sa synchronného generátora sa uvažuje s týmto predpokladmi [17], [18]: ?
? *súvisí to s vlnovou dĺžkou?*

- Vinutia statora sú sínusovo rozložené pozdĺž vzduchovej medzery a vyšie harmonické sú zanedbateľné.
- Tvar drážok statora minimálne ovplyvňuje indukčnosť rotora pri zmene jeho pozicie (otáčaní).
- Magnetická hysterézia je zanedbateľná.
- Vplyv magnetickej saturácie je zanedbateľný.

Podľa Obr. 1, pre okamžité hodnoty fázových napäť na svorkách generátora platí [17]-[20]:

$$u_u = \frac{d\Phi_v}{dt} - R_s i_u, \quad (4)$$

$$u_v = \frac{d\Phi_w}{dt} - R_s i_v, \quad (5)$$

$$u_w = \frac{d\Phi_u}{dt} - R_s i_w, \quad (6)$$

kde

u_u je okamžitá hodnota fázového statorového napäťia vo fáze U (V),

u_v je okamžitá hodnota fázového statorového napäťia vo fáze V (V),

u_w je okamžitá hodnota fázového statorového napäťia vo fáze W (V),

Φ_u je magnetický indukčný statorový tok vo fáze U (Wb),

Φ_v je magnetický indukčný statorový tok vo fáze V (Wb),

Φ_w je magnetický indukčný statorový tok vo fáze W (Wb),

i_u je okamžitá hodnota statorového prúdu vo fáze U (A),

i_v je okamžitá hodnota statorového prúdu vo fáze V (A),

i_w je okamžitá hodnota statorového prúdu vo fáze W (A),

R_s je rezistencia statorového vinutia vo fázach U, V, W (Ω).

Rovnice charakterizujúce elektromagnetické obvody rotora majú tvar [17]-[20]:

$$u_{rd} = \frac{d\Phi_{rd}}{dt} + R_{rd} i_{rd}, \quad (7)$$

$$u_{kd} = 0 = \frac{d\Phi_{kd}}{dt} + R_{kd} i_{kd}, \quad (8)$$

$$u_{kq} = 0 = \frac{d\Phi_{kq}}{dt} + R_{kq} i_{kq}. \quad (9)$$

kde

u_{rd} je budiace napätie (V),

u_{kd} je napätie vinutia k -teho amortizéra v d - osi (V),

u_{kq} je napätie vinutia k -teho amortizéra v q - osi (V),

Φ_{rd} je magnetický indukčný rotorový tok v budiacom vinutí (Wb),

Φ_{kd} je magnetický indukčný rotorový tok k -teho amortizéra v d - osi (Wb),

Φ_{kq} je magnetický indukčný rotorový tok k -teho amortizéra v q - osi (Wb),

i_{rd} je prúd tečúci budiacim vinutím (A),

i_{kd} je prúd tečúci vinutím k -teho amortizéra v d - osi (A),

i_{kq} je prúd tečúci vinutím k -teho amortizéra v q - osi (A),

R_{rd} je rezistencia budiaceho vinutia (Ω),

R_{kd} je rezistencia k -teho amortizéra v d - osi (Ω),

R_{kq} je rezistencia k -teho amortizéra v q - osi (Ω).

Amortizéry, resp. tlmiče (Obr. 1.) sú uzavreté (skratované) obvody, na ktoré nie je pripojený zdroj napäťia (napätie je rovné nule). V tlmičoch sa naindukujú prúdy iba v prípade, že dojde k zmene magnetického toku (v statore alebo v budiacom vinutí) - k vzniku prechodného deju [1], [17].

Magnetické indukčné toky Φ_u , Φ_v , Φ_w v jednotlivých fázach statora synchronného generátora sú definované závislosťou od prúdov a indukčností všetkých vinutí alternátora (podľa vzťahu $\Phi = li$, Φ - magnetický indukčný tok, I - okamžitá hodnota indukčnosti, i - okamžitá hodnota prúdu). Keďže synchronný generátor je točivý stroj, niektoré jeho parametre nie sú statické, ale závisia od času (polohy rotora). Všetky vlastné a vzájomné indukčnosti statora a vzájomné indukčnosti medzi rotorom a statorom sú charakterizované funkciou pozicie rotora voči statoru a menia sa v čase. Ak ide o vlastné indukčnosti budiaceho vinutia a vinutí amortizérov v d - osi a q - osi a taktiež vzájomnú indukčnosť medzi týmito vinutiami, ich hodnoty sú konštantné (nemenia sa so zmenou pozicie rotora v čase) [17], [18].

Kedže rovnice (4) až (6) pre fázové veličiny obsahujú závislosti indukčností vinutí synchronného generátora v čase, riešenie týchto rovnic predstavuje zložitú a komplexnú úlohu pri skúmaní synchronných strojov a problémov v elektrizačnej sústave. Východiskom je dq0 transformácia statorových fázových veličín, ktorá značne zjednoduší výpočet. Veličiny vztiahnuté na jednotlivé fázy statorového vinutia sa transformujú do roviny tvorenej osami d a q opisanými výšie. Transformáciu fázových prúdov i_u , i_v , i_w (rovina UVW), do roviny dq0 je možné vyjadriť ako Chyba! Nenašiel sa žiadnen zdroj odkazov.:

$$\begin{pmatrix} i_d \\ i_q \\ i_o \end{pmatrix} = \frac{2}{3} \begin{pmatrix} \cos\theta & \cos(\theta-120^\circ) & \cos(\theta+120^\circ) \\ -\sin\theta & -\sin(\theta-120^\circ) & -\sin(\theta+120^\circ) \\ 0,5 & 0,5 & 0,5 \end{pmatrix} \begin{pmatrix} i_u \\ i_v \\ i_w \end{pmatrix} \quad (A), \quad (10)$$

a inverznú transformáciu vo forme

$$\begin{pmatrix} i_u \\ i_v \\ i_w \end{pmatrix} = \begin{pmatrix} \cos\theta & -\sin\theta & 1 \\ \cos(\theta-120^\circ) & -\sin(\theta-120^\circ) & 1 \\ \cos(\theta+120^\circ) & -\sin(\theta+120^\circ) & 1 \end{pmatrix} \begin{pmatrix} i_d \\ i_q \\ i_o \end{pmatrix} \quad (A), \quad (11)$$

kde i_d , i_q , i_o sú statorové prúdy vyjadrené v dq0 rovine.

Transformáciu dq0 (10) je možné aplikovať taktiež na statorové magnetické toky a napäťia, prípadne záfaž pripojenú na svorky generátora [1].

Transformácia dq0 je charakterizovaná vlastnosťami, ktoré vedú k zjednodušeniam oproti modelu synchronného generátora vo fázových hodnotách (UVW) [1], [17]:

- Konštantné hodnoty indukčnosti statora a vzájomných indukčností medzi rotorom a statorom.
- Vynechanie točivého operátora θ , resp. $\omega \rightarrow$ vyniechanie závislosti na čase t .
- Veličiny sú vyjadrené namiesto okamžitých hodnôt v časovej oblasti (sinusové a kosinusové závislosti od času) vo vektorovom tvaru (oblasti, resp. rovine dq0).
- Vektorový tvar veličiny je tvorený d - časťou (reálna zložka) a q - časťou (imaginárna zložka), v špecifických prípadoch aj nulovou zložkou.

Po dq0 transformácii rovnice pre fázové statorové napäťia nadobudnú tvar [17], [18]:

$$u_d = \frac{d\Phi_d}{dt} - \omega\Phi_q - R_s i_d, \quad (12)$$

$$u_q = \frac{d\Phi_q}{dt} + \omega\Phi_d - R_s i_q, \quad (13)$$

$$u_0 = \frac{d\Phi_0}{dt} - R_s i_0, \quad (14)$$

kde

- u_d je d - zložka fázového statorového napäťia v dq0 rovine (V),
 u_q je q - zložka fázového statorového napäťia v dq0 rovine (V),
 u_0 je nulová zložka fázového statorového napäťia v dq0 rovine (V),
 Φ_d je d - zložka magnetického indukčného statorového toku v dq0 rovine (Wb),
 Φ_q je q - zložka magnetického indukčného statorového toku v dq0 rovine (Wb),
 Φ_0 je nulová zložka magnetického indukčného statorového toku v dq0 rovine (Wb),
 i_d je d - zložka statorového prúdu v dq0 rovine (A),
 i_q je q - zložka statorového prúdu v dq0 rovine (A),
 i_0 je nulová zložka statorového prúdu v dq0 rovine (A).

Veličiny uvedené v rovniciach (4) až (14) môžu byť okrem uvedených skutočných jednotiek vyjadrené aj v pomerných jednotkách (p.j.). Pri analýze siete je zvykom pri výpočtoch využívať pomerné jednotky na zjednodušenie kalkulácií, uľahčenie vyhodnocovania a porozumenia výsledkov. V prípade synchrónneho stroja existuje niekoľko systémov pomerných jednotiek, najčastejšie sa používa systém pomerných jednotiek nazývaný „ L_{ad} “ rovnocenný systém pomerných jednotiek“. V danom systéme pomerných jednotiek je zakomponovaný prevod medzi statorom a rotorom synchrónneho generátora, podobne ako je to v prípade transformátora. Pri použití pomerných jednotiek sa za základné (vzťažné) jednotky berú do úvahy menovité hodnoty statorových veličín. Pri práci so skutočnými hodnotami musia byť veličiny rotora prevedené na stranu statora. Vyjadrenie veličín v skutočných hodnotách a pomerných jednotkách nie je možné kombinovať [1].

Základný matematický model synchrónneho generátora v dq0 rovine pozostáva z rovníc (12), (13), (14) pre statorové napäťia a rovnosti (7), (8), (9) pre napäťia obvodov rotora. Model synchrónneho generátora je tvorený systémom lineárnych diferenciálnych rovníc prvého rádu s konštantou pravou stranou vo všeobecnom tvaru [1], [21]:

$$\left[\frac{di}{dt} \right] = A[i] + B, \quad (15)$$

$$\frac{di}{dt} = Ai + B,$$

[jednotky?]

nie bold

kde

A je matica s konštantnými koeficientmi (obsahuje parametre synchrónneho generátora, resp. záťaže pripojenej na svorky generátora v (H) a (Ω)),

B je matica vstupných známych veličín s konštantnými koeficientmi, zahrňa v sebe maticu parametrov synchrónneho generátora v (H) a maticu statorových napäťí (u_d , u_q , u_0) a rotorových napäťí (u_{fd} , u_{fq} , u_{f0}) vo (V),

i je matica výstupných neznámych veličín, je tvorená maticou statorových prúdov (i_d , i_q , i_0) a rotorových prúdov (i_{fd} , i_{fq} , i_{f0}) v (A),

$\frac{di}{dt}$ je matica derivovaných neznámych rotorových a statorových prúdov v (A) podľa času v (s).

Riešenie sústavy (15) bližšie rozobrané v [1] pozostáva z určenia počiatočných podmienok - neznámych (prúdy i) v čase $t=0$. Počiatočné podmienky sa definujú z riešenia ustáleného stavu synchrónneho generátora - zjednodušenia sústavy (15). Počas ustáleného stavu sa v rovniciach (15) pre opis synchrónneho stroja nevyskytujú časové derivácie, keďže nedochádza k zmene parametrov v čase. Taktiež všetky prúdy amortizérov sú rovné 0. Ide o uzavreté obvody, v ktorých sa naindukujú prúdy len v prípade, že dôjde k prechodnému deju. Nulová zložka sa vyniecha a uhlová rýchlosť sa nemení (je rovná menovitej).

Po úpravách uvedených v [1] je možné zakomponovať do sústavy (15) externú záťaž pripojenú na svorky synchrónneho generátora. Cez externú záťaž sa dajú vyjadriť statorové napäťia (u_d , u_q , u_0), čím sa jediným vstupným údajom stáva budiace napätie (u_{fd}). Hodnotu budiaceho napäťia u_{fd} je možné získať z riešenia ustáleného stavu synchrónneho generátora, a to nasledujúcim postupom:

- Určenie maximálnej hodnoty fázového napäťia na svorkách synchrónneho generátora (U_{max}), maximálnej hodnoty statorového prúdu (I_{max}) a uhla ϕ medzi nimi. Veličiny U_{max} a I_{max} musia byť v nasledujúcich vzťahoch uvedené v pomerných jednotkách (p.j.), uhol ϕ v (rad) alebo ($^\circ$). Parametre U_{max} , I_{max} a ϕ sú volené podľa toho, z akého počiatočného stavu synchrónneho generátora je potrebné vychádzať [1].
- Výpočet vnútorného (záťažového) uhla rotora δ_i v (rad) alebo ($^\circ$) [1]:

$$\delta_i = \tan^{-1} \left(\frac{X_{qs} I_{max} \cos \phi - R_a I_{max} \sin \phi}{U_{max} + R_a I_{max} \cos \phi + X_{qs} I_{max} \sin \phi} \right), \quad (16)$$

kde

X_{qs} je saturovaná synchrónna reaktancia synchrónneho generátora v q - osi v (p.j.),

R_a je rezistancia statorového vinutia synchrónneho generátora v (p.j.).

- Určenie statorových napäťí a prúdov v dq0 rovine v (p.j.) [1]:

$$u_d = U_{max} \sin \delta_i, \quad (17)$$

$$u_q = U_{max} \cos \delta_i, \quad (18)$$

$$i_d = I_{max} \sin(\delta_i + \phi), \quad (19)$$

$$i_q = I_{\max} \cos(\delta_i + \varphi). \quad (20)$$

- Výpočet budiaceho prúdu i_{fd} a budiaceho napäťia u_{fd} v (p.j.) [1]:

$$i_{\text{fd}} = \frac{u_q + R_{\text{fd}} i_q + X_{\text{ds}} j_{\text{fd}}}{X_{\text{ds}} - X_1}, \quad (21)$$

$$u_{\text{fd}} = R_{\text{fd}} i_{\text{fd}}, \quad (22)$$

kde X_1 je rozptylová reaktancia synchrónneho generátora v (p.j.).

Pomocou vzťahu (22) je možné určiť budiace napätie u_{fd} vyjadrené v (p.j.) pre špecifický prevádzkový stav. Pri riešení chodu synchrónneho generátora v skutočných jednotkách je nutné aj budiace napätie u_{fd} previesť na skutočné jednotky. Využitím daného postupu (rovnice (16) až (22)) sa taktiež získajú počiatočné hodnoty neznámych (prúdov i) nevyhnutné pri riešení sústavy (15).

Pri skúmaní skratových pomerov v sieti so synchrónnymi generátormi sa uvažuje s nasýtenými (saturovanými) hodnotami indukčnosti, resp. indukčných reaktancií synchrónneho generátora. Ideálny trojfázový skrat na svorkách synchrónneho generátora je možné realizovať nastavením impedancie externej záťaže na hodnotu blízku 0. Maximálne hodnoty skratových prúdov sa získajú v okamihu, keď napätie v určitej fáze prechádza nulou (v danej fáze sa vytvorí maximálna jednosmerná zložka skratového prúdu). Pri určení časového okamihu, kedy dôjde k tomuto stavu (napätie prechádza nulou), je potrebné brať do úvahy fázový posun medzi vnútorným indukovaním napäťím naprázdno a svorkovým napäťím na generátore vyjadrený záťažovým uhlom δ_i .

III. VÝPOČET TROFZÁZOVÉHO SKRATU NA SVORKÁCH SYNCHRÓNNEHO GENERÁTORA PODĽA NORMY STN EN 60909-0

Výpočet skratových prúdov podľa normy STN EN 60909-0 vychádza z niekoľkých zjednodušení, napríklad po dobu trvania skratového prúdu sa nemení typ skratu, nedochádza k žiadnej zmene v sústave, neuvažuje sa s odpormi elektrických oblúkov a pod. Metóda použitá na výpočty skratových prúdov je založená na zavedení ekvivalentného napäťového zdroja v mieste skratu, ktorý predstavuje jediné aktívne napätie v náhradnej schéme sústavy po vzniku skratu. Všetky prvky sústavy sú nahradzane svojou skratovou impedanciou. Na zjednodušenie výpočtu hodnôt skratových prúdov sa využíva metóda súmerných zložiek [6].

Veličiny v pomerných jednotkách uvedené v tejto kapitole sú vztiahnuté na menovité parametre synchrónneho generátora (rovnako ako v kapitole III).

Pri výpočte trojfázového skratového prúdu je synchrónny generátor charakterizovaný korigovanou súsednou skratovou impedanciou (čiarka nad označením veličiny vyjadruje komplexné číslo, resp. fázor) [6]:

$$\bar{Z}_{\text{kg}} = K_o \bar{Z}_o = K_o (R_o + jX'_{\text{ds}}), \quad (23)$$

kde

\bar{Z}_{kg} je korigovaná skratová impedancia synchrónneho generátora v (Ω), resp. (p.j.),

\bar{Z}_o je rázová skratová impedancia synchrónneho generátora v súsednej sústave v (Ω), resp. (p.j.),

\bar{Z} - stredná (al. priemerná) hodnota \bar{Z}

- | | |
|-------------------|--|
| K_g | je impedančný korekčný súčinieľ (-), |
| R_g | je skutočná alebo fiktívna rezistencia statorového vinutia synchrónneho generátora v (Ω), resp. (p.j.), |
| X''_{ds} | je nasýtená (saturovaná) rázová reaktancia synchrónneho generátora v d - osi v (Ω), resp. (p.j.). |

Na výpočet skratových prúdov podľa normy STN EN 60909-0 sa používa nasýtená hodnota rázovej reaktancie synchrónneho generátora v d - osi X''_{ds} [6].

Za rezistanciu statorového vinutia synchrónneho generátora R_g je možné dosadiť katalógovú hodnotu udanú výrobcom (vyššie označená ako R_s) alebo hodnotu fiktívnej rezistancie R_{fg} . Rezistencia R_{fg} sa môže použiť na výpočet nárazového skratového prúdu, nesmie sa použiť pri výpočte aperiodickej (jednosmernej) zložky skratového prúdu. Hodnota R_s je zvyčajne oveľa menšia ako hodnota fiktívnej rezistancie R_{fg} , v takom prípade norma STN EN 60909-0 odporúča použiť pre R_g hodnoty od výrobcu (R_s). Veľkosť fiktívnej rezistancie R_{fg} je daná [6]:

$$R_{\text{fg}} = K_f X''_{\text{ds}}, \quad (24)$$

kde K_f je bezrozmerný činiteľ na výpočet fiktívnej rezistancie R_{fg} synchrónneho generátora, ktorý môže nadobúdať hodnoty:

- 0,05 pre generátory s menovitým napäťím nad 1 kV a menovitým zdanlivým výkonom väčším alebo rovným ako 100 MVA,
- 0,07 pre generátory s menovitým napäťím nad 1 kV a menovitým zdanlivým výkonom menším ako 100 MVA,
- 0,15 pre generátory s menovitým napäťím menším alebo rovným ako 1 kV.

Pre impedančný korekčný súčinieľ synchrónneho stroja platí [6]:

$$K_g = \frac{U_n}{U_{nG}} \frac{c_{\max}}{1 + X''_{\text{ds}} \sin \varphi_{nG}}, \quad (25)$$

kde

U_n je menovité združené napätie sústavy vo (V), resp. (p.j.),

U_{nG} je menovité združené napätie synchrónneho generátora vo (V), resp. (p.j.),

c_{\max} je napäťový súčinieľ (-), $c_{\max} = 1,1$ na výpočet maximálnych skratových prúdov,

X''_{ds} je nasýtená (saturovaná) pomerná rázová reaktancia synchrónneho generátora v d - osi, musí byť vyjadrená v (p.j.),

φ_{nG} je uhol medzi menovitým prúdom a fázovým napäťím synchrónneho generátora v (rad), resp. ($^{\circ}$).

Počiatočný súmerný rázový skratový prúd I_k'' predstavuje efektívnu hodnotu striedavej súmernej zložky predpokladaného skratového prúdu v okamihu vzniku skratu (pri konštantnej impedancii). Pre počiatočný súmerný rázový skratový prúd v (A), resp. (p.j.) vyvolaný trojfázovým skratom na svorkách synchrónneho generátora platí [6]:

$$I_k'' = \frac{c_{\max} U_n}{\sqrt{3} Z_{\text{kg}}}, \quad (26)$$

kde Z_{kg} predstavuje absolútну hodnotu korigovanej skratovej impedancie synchrónneho generátora v (Ω), resp. (p.j.).

Nárazový skratový prúd i_p je charakterizovaný maximálnou možnou okamžitou hodnotou predpokladaného skratového prúdu. Veľkosť nárazového skratového prúdu závisí na okamihu, v ktorom došlo k skratu. Výpočet trojfázového nárazového skratového prúdu sa aplikuje na fázový vodič a okamih, v ktorom vznikne najväčší možný skratový prúd. Pri výpočte i_p sa predpokladá, že skrat vznikne pri prechode napäťa nulou a že nárazový skratový prúd i_p sa dosiahne približne v polovici prvého cyklu. Nárazový skratový prúd v (A), resp. (p.j.) vyvolaný trojfázovým skratom na svorkách synchrónneho generátora je možné definovať ako [6]:

$$i_p = \kappa \sqrt{2} I_k'' , \quad (27)$$

kde κ je bezrozmerný súčinieľ pre pomer činnej zložky rázovej skratovej impedancie R_g k imaginárnej zložke rázovej skratovej impedancie X_{ds}'' synchrónneho generátora a určí sa zo vzťahu:

$$\begin{aligned} R/X &= R_g/X_{ds}'' \\ \kappa &= 1,02 + 0,98 e^{-R/X} \end{aligned} \quad (28)$$

Ustálený skratový prúd je vyjadrený efektívou hodnotou skratového prúdu, ktorý zostáva po doznení prechodného deja. Pri výpočte maximálneho ustáleného skratového prúdu I_{kmax} v (A), resp. (p.j.) sa počíta s maximálnym budením synchrónneho generátora [6]:

$$I_{kmax} = \lambda_{max} I_{ng} , \quad (29)$$

kde

I_{ng} je menovitý prúd synchrónneho generátora v (A), resp. (p.j.),

λ_{max} je súčinieľ na výpočet maximálneho ustáleného skratového prúdu (-).

Súčinieľ λ_{max} je možné odčítať zo závislostí uvedených v [6] pre synchrónne generátory s hladkým rotorom alebo s vyjadrenými pólmami. V prípade strojov s hladkým rotorom sa uvažuje s najvyšším možným budiacim napäťom rovným 1,3-násobku menovitého budiaceho prúdu alebo 1,6-násobku menovitého budiaceho prúdu pri menovitom zaťažení a účinníku. Pre synchrónne stroje s vyjadrenými pólmami charakteristiky pre λ_{max} vychádzajú z 1,6-násobku alebo 2-násobku menovitého budenia pri menovitých podmienkach. Výpočet kriek λ_{max} je uvedený v norme TNI IEC/TR 60909-1 [22]. Okrem budiaceho napäťia závisí súčinieľ λ_{max} aj od nasýtenej rázovej reaktancie X_{ds}'' v d - osi a nasýtenej synchrónnej reaktancie X_{ds} v d - osi synchrónneho generátora, počiatočného súmerného rázového skratového prúdu I_k'' , menovitého prúdu synchrónneho generátora I_{ng} a uhla medzi menovitým prúdom a fázovým napäťom synchrónneho generátora φ_{ng} .

Ekvivalentný otepľovací skratový prúd I_{th} je definovaný efektívou hodnotou prúdu, ktorý má rovnaké tepelné účinky a rovnaký čas trvania ako skutočný skratový prúd, ktorý môže obsahovať jednosmernú zložku a mení sa s časom. Ekvivalentný otepľovací prúd v (A), resp. (p.j.) vyvolaný trojfázovým skratom na svorkách synchrónneho generátora je možné charakterizovať vzťahom [6]:

$$I_{th} = I_k'' \sqrt{m+n} , \quad (30)$$

kde

m je súčinieľ pre časovo závislý tepelný účinok jednosmernej zložky skratového prúdu (-),

n je súčinieľ pre časovo závislý tepelný účinok striedavej zložky skratového prúdu (-).

Vzťahy a závislosti na určenie činiteľov m a n sú uvedené v [6]. Činiteľ m a n závisia od frekvencie f , doby trvania skratu T_k , súčinieľa κ , počiatočného súmerného rázového skratového prúdu I_k'' a maximálneho ustáleného skratového prúdu I_{kmax} .

Ekvivalentný otepľovací skratový prúd I_{th} je možné určiť tiež výpočtom Jouleovho integrálu, ktorý vyjadruje energiu vytváranú v odporovom prvku sústavy prechodom skratového prúdu [6]:

$$T = T_k$$

$$I_{th} = \sqrt{\frac{\int_0^T i_k^2 dt}{T}} , \quad (31)$$

kde

i_k je okamžitá hodnota skratového prúdu v (A), resp. (p.j.),

T_k je doba trvania skratového prúdu (s).

Výpočet ekvivalentného otepľovacieho skratového prúdu I_{th} z diskrétnych okamžitých hodnôt prúdu (určených simuláciou alebo meraním, napríklad v prípade matematického modelu synchrónneho generátora vo forme diferenciálnych rovníc) po dobu trvania skratu 1 sekunda je možné realizovať na základe vzťahu:

$$I_{th} = \sqrt{\frac{\Delta t}{T_k} \sum_{n=1}^N i_{kn}^2} , \quad (32)$$

kde

Δt je časový krok vzorkovania v (s),

N je počet vzoriek po dobu trvania skratu (-),

i_{kn} je okamžitá hodnota skratového prúdu n -tej vzorky v (A), resp. (p.j.).

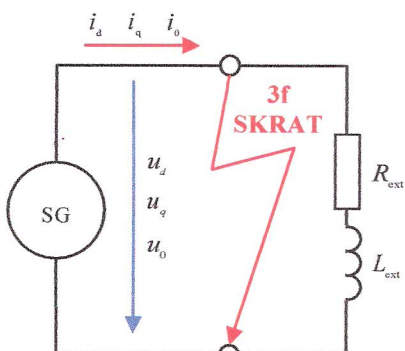
Jouleov integrál a ekvivalentný otepľovací skratový prúd I_{th} by mali byť vždy udané s dobu trvania skratu, s ktorým sú spojené [6].

IV. POROVNANIE VÝSLEDKOV VÝPOČTOV SKRATOVÝCH PRÚDOV

Pri účely porovnania výsledkov výpočtov skratových prúdov pri vzniku ideálneho trojfázového skratu na svorkách synchrónneho generátora bol zvolený synchrónny generátor s elektrickými parametrami uvedenými v TABUĽKE I [23]. Pri výpočte skratových prúdov, či už podľa normy STN EN 60909-0 (kapitola III), alebo pomocou vytvoreného matematického modelu synchrónneho generátora (kapitola II), bolo uvažované s menovitou frekvenciou siete 50 Hz. Vzhľadom na to, že v prípade uvažovaného generátora (ktorého elektrické parametre sú uvedené v TABUĽKE I) je menovitá frekvencia 60 Hz, boli všetky uvedené parametre uvažované aj pre frekvenciu 50 Hz.

Pri výpočte počiatočného súmerného rázového skratového prúdu (I_k''), nárazového skratového prúdu (i_p) a ekvivalentného otepľovacieho skratového prúdu (I_{th}) podľa normy STN EN 60909-0 sa neuvažuje s vplyvom zaťaženia generátora pred vznikom skratu. Z tohto dôvodu bol okrem výpočtu i_p a I_{th} podľa normy STN EN 60909-0 realizovaný aj výpočet i_p a I_{th} pomocou matematického modelu generátora popísaného v kapitole II, a to pre rôznu veľkosť a účinník záťaže pred vznikom ideálneho trojfázového skratu na svorkách generátora. Pri všetkých výpočtoch bolo uvažované s konštantným budením synchrónneho stroja po celú dobu trvania skratu. Veľkosť budiaceho napäťia bola vypočítaná podľa vzťahu (22) pre každý stav zaťaženia tak, aby efektívna hodnota napäťia na svorkách generátora dosiahla 1,1-násobok menovitého združeného napäťia U_{nG} . Pre výpočet ekvivalentného otepľovacieho prúdu bolo uvažované s dobou trvania trojfázového skratu 1 sekunda. Trojfázový skrat na svorkách generátora vznikol v okamihu, keď svorkové napätie generátora v jednej z fáz prechádzalo nulou.

Na Obr. 2. je zobrazená principiálna jednopólová schéma zapojenia záťaže na svorky synchrónneho generátora (SG) s vyznačením vzniku ideálneho trojfázového (3f) skratu na svorkách SG. V TABUĽKE II sú uvedené hodnoty maximálnych skratových prúdov pri vzniku ideálneho trojfázového skratu na svorkách synchrónneho generátora (podľa parametrov v TABUĽKE I). Skratové prúdy uvedené v TABUĽKE II sú vypočítané podľa normy STN EN 60909-0 v prípade uvažovania známej hodnoty odporu statorového vinutia R_s , resp. hodnoty fiktívnej rezistancie R_{sg} (bližšie opísané v kapitole III).



Obr. 2. Principiálna jednopólová schéma zapojenia externej záťaže na svorky synchrónneho generátora (SG) s vyznačením vzniku ideálneho trojfázového (3f) skratu na svorkách SG.

Analýza vplyvu veľkosti zaťaženia a účinníka záťaže na veľkosť skratových prúdov pri vzniku ideálneho trojfázového skratu na svorkách synchrónneho generátora bola realizovaná pomocou matematického modelu synchrónneho generátora popísaného v kapitole II (pri uvažovaní nasýtených hodnôt reaktancií^{??} pre nasledovných päť rôznych stavov veľkosti zaťaženia pred vznikom skratu: hodn. zaťaženia

- synchrónny generátor bez zaťaženia (naprázdno),
- synchrónny generátor zaťažený na 25 % menovitého prúdu,
- synchrónny generátor zaťažený na 50 % menovitého prúdu,
- synchrónny generátor zaťažený na 100 % menovitého prúdu,
- synchrónny generátor zaťažený na 110 % menovitého prúdu.

TABUĽKA I
Parametre modelovaného generátora (turboalternátora)

Veličina	Hodnota	Veličina	Hodnota
U_{nG} (kV) menovité napätie	13,8	X'_{qs} (p. j.) saturowaná prechodná reaktancia v q - osi	0,434
S_{nG} (MVA) menovitý zdanlivý výkon	112,1	X'_q (p. j.) nesaturowaná prechodná reaktancia v q - osi	0,434
I_{nG} (A) menovitý prúd	4690	X''_{qs} (p. j.) saturowaná rázová reaktancia v q - osi	0,140
$\cos\phi_{nG}$ (-) menovitý účinník	0,85	X''_q (p. j.) nesaturowaná rázová reaktancia v q - osi	0,192
X_{ds} (p. j.) saturowaná synchrónna reaktancia v d - osi	1,949	T'_{do} (s) prechodná časová konštanta naprázdno v d - osi	5,615
X_d (p. j.) nesaturowaná synchrónna reaktancia v d - osi	1,949	T''_{do} (s) rázová časová konštanta naprázdno v d - osi	0,022
X'_{ds} (p. j.) saturowaná prechodná reaktancia v d - osi	0,207	T'_{qo} (s) prechodná časová konštanta naprázdno v q - osi	0,451
X'_d (p. j.) nesaturowaná prechodná reaktancia v d - osi	0,278	T''_{qo} (s) rázová časová konštanta naprázdno v q - osi	0,046
X''_{ds} (p. j.) saturowaná rázová reaktancia v d - osi	0,164	T'_d (s) prechodná časová konštanta nakrátko v d - osi	0,597
X''_d (p. j.) nesaturowaná rázová reaktancia v d - osi	0,193	T''_d (s) rázová časová konštanta nakrátko v d - osi	0,015
X_1 (p. j.) rozptylová reaktancia	0,164	T'_q (s) prechodná časová konštanta nakrátko v q - osi	0,451
X_{qs} (p. j.) saturowaná synchrónna reaktancia v q - osi	1,858	T''_q (s) rázová časová konštanta nakrátko v q - osi	0,015
X_q (p. j.) nesaturowaná synchrónna reaktancia v q - osi	1,858	R_s (Ω) rezistencia statorového vinutia	0,0032

TABUĽKA II

Výsledky výpočtov maximálnych skratových prúdov pri vzniku ideálneho trojfázového skratu na svorkách uvažovaného synchrónneho generátora podľa STN EN 60909-0

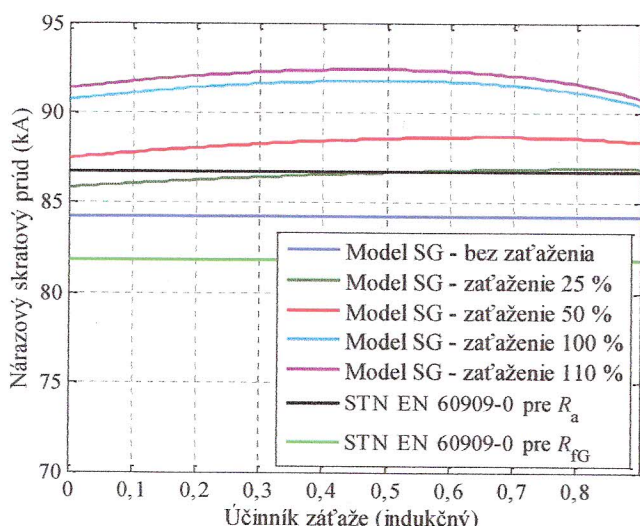
	Výpočet pomocou R_s	Výpočet pomocou R_{sg}
I_k'' (kA)	31,07	31,03
i_p (kA)	86,74	81,77
I_{th} (kA)	26,54	20,04

Na Obr. 3. sú uvedené priebehy nárazového skratového prúdu pri vzniku ideálneho trojfázového skratu na svorkách generátora v závislosti od veľkosti zaťaženia a veľkosti účinníka záťaže pred vznikom skratu. Tieto závislosti boli určené pomocou matematického modelu popísaného v kapitole II. Čierna priamka predstavuje hodnotu nárazového skratového prúdu vypočítanú pomocou normy STN EN 60909-0 pri uvažovaní rezistancie statora R_s (podľa TABUĽKY I) a svetlozelená čiara vyjadruje hodnotu nárazového skratového prúdu učenú pomocou normy STN EN 60909-0 pri uvažovaní fiktívnej rezistancie generátora R_{rg} (určenej podľa vzťahu (24)).

Na Obr. 3. je vidieť výraznú závislosť hodnoty nárazového skratového prúdu od veľkosti zaťaženia a okrem stavu bez zaťaženia je zrejmý aj vplyv účinníka zaťaženia pred skratom. V prípade stavu naprázdno pred skratom bola vypočítaná hodnota (využitím modelu alternátora) nárazového skratového prúdu 84,23 kA, čo je o 2,51 kA menej ako hodnota nárazového skratového prúdu vypočítaná podľa normy STN EN 60909-0 (pri použití odporu statora R_s), ale o 2,46 kA viac ako hodnota nárazového skratového prúdu vypočítaná podľa normy STN EN 60909-0 pre hodnotu R_{rg} .

Najvyššia hodnota nárazového skratového prúdu pri 25 % zaťažení bola 86,90 kA a bola dosiahnutá pri účinníku 0,84. V prípade menšieho účinníka ako 0,56 boli hodnoty nárazového skratového prúdu pri 25 % zaťažení generátora pred skratom menšie ako hodnota nárazového skratového prúdu vypočítaná podľa normy STN EN 60909-0 pre hodnotu R_s . Hodnoty nárazového skratového prúdu boli pre každý účinník a veľkosť zaťaženia väčšie ako hodnota nárazového skratového prúdu vypočítaná podľa normy STN EN 60909-0 s využitím odporu státorového vinutia R_{rg} .

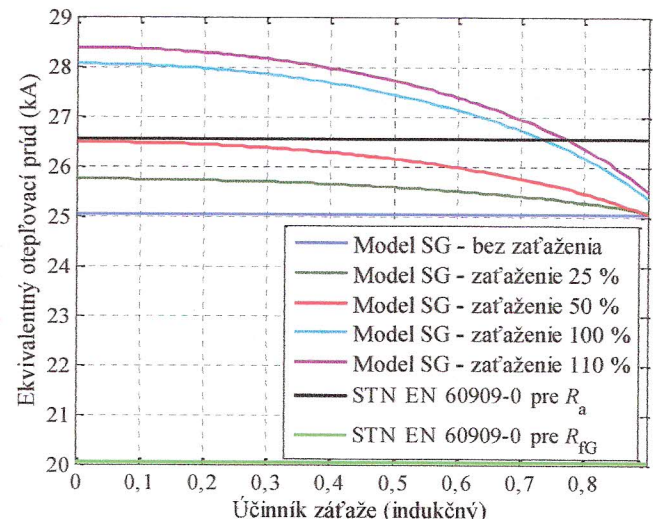
V prípade väčšieho zaťaženia generátora ako 25 % pred skratom boli pri akekoľvek hodnote účinníka vypočítané väčšie hodnoty nárazového skratového prúdu oproti hodnote určenej normou STN EN 60909-0 pre R_s . Najväčšia hodnota nárazového skratového prúdu pri 50 % zaťažení bola 88,64 kA a bola dosiahnutá pri účinníku 0,70. Najväčšia hodnota nárazového skratového prúdu pri 100 % zaťažení bola 91,77 kA a bola získaná pri účinníku 0,49. Maximálna hodnota nárazového skratového prúdu pri 110 % zaťažení bola 92,39 kA pri účinníku 0,48.



Obr. 3. Priebeh nárazového skratového prúdu pri vzniku ideálneho trojfázového skratu na svorkách generátora, v závislosti od veľkosti zaťaženia a veľkosti účinníka záťaže pred vznikom skratu.

↓ medzera?

Na Obr. 4. sú uvedené priebehy ekvivalentného otepľovacieho prúdu po dobu skratu 1 sekunda pri vzniku ideálneho trojfázového skratu na svorkách generátora v závislosti od veľkosti zaťaženia a veľkosti účinníka záťaže pred vznikom skratu. Dané závislosti sú určené pomocou matematického modelu popísaného v kapitole II. Čierna čiara charakterizuje hodnotu ekvivalentného otepľovacieho prúdu vypočítanú pomocou normy STN EN 60909-0 pri uvažovaní rezistancie statora R_s a svetlozelená čiara vyjadruje hodnotu ekvivalentného otepľovacieho skratového prúdu vypočítanú pomocou normy STN EN 60909-0 pri uvažovaní fiktívnej rezistancie generátora R_{rg} .



Obr. 4. Priebeh ekvivalentného otepľovacieho skratového prúdu po dobu skratu 1 sekundy, pri vzniku ideálneho trojfázového skratu na svorkách generátora, v závislosti od veľkosti zaťaženia a veľkosti účinníka záťaže pred vznikom skratu.

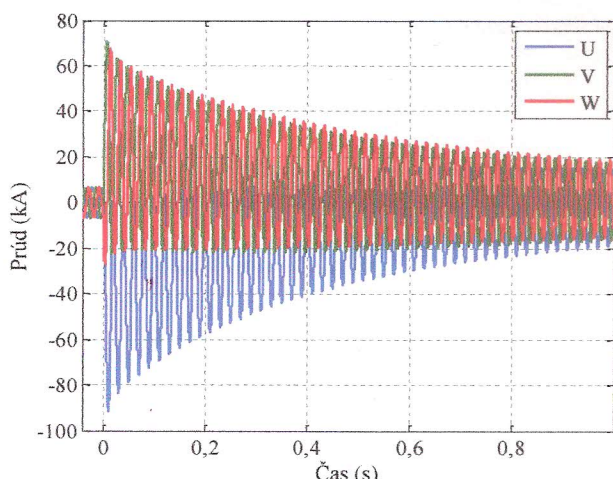
Aj na Obr. 4. je zjavná výrazná závislosť hodnoty ekvivalentného otepľovacieho prúdu od veľkosti zaťaženia a okrem stavu naprázdno bez zaťaženia je viditeľný aj vplyv účinníka zaťaženia pred skratom. V prípade stavu bez zaťaženia pred skratom bola vypočítaná hodnota (podľa matematického modelu generátora) ekvivalentného otepľovacieho prúdu 25,03 kA, čo je o 1,51 kA menej ako hodnota ekvivalentného otepľovacieho prúdu vypočítaná podľa normy STN EN 60909-0 pre hodnotu R_s , ale o 4,99 kA viac ako hodnota ekvivalentného otepľovacieho prúdu vypočítaná podľa normy STN EN 60909-0 s použitím hodnoty R_{rg} .

Najväčšie hodnoty ekvivalentného otepľovacieho prúdu boli dosiahnuté pri účinníku 0 (iba indukčná záťaž). Pri prúdovom zaťažení 50 % a menej boli vypočítané hodnoty ekvivalentného otepľovacieho prúdu menšie ako hodnota ekvivalentného otepľovacieho prúdu vypočítaná podľa normy STN EN 60909-0 pre hodnotu R_s . Všetky získané hodnoty ekvivalentného otepľovacieho skratového prúdu boli väčšie ako hodnota ekvivalentného otepľovacieho prúdu vypočítaná podľa normy STN EN 60909-0 pre hodnotu R_{rg} .

Najväčšia hodnota ekvivalentného otepľovacieho prúdu pri 100 % zaťažení bola 28,06 kA. Pri účinníku väčšom ako 0,73 bola hodnota ekvivalentného otepľovacieho prúdu vypočítaná pomocou matematického modelu popísaného v kapitole II menšia ako hodnota

ekvivalentného otepľovacieho prúdu vypočítaná podľa normy STN EN 60909-0 pre hodnotu R_e . Hodnoty ekvivalentného otepľovacieho prúdu pre všetky veľkosti a účinníky záťaže boli väčšie ako hodnota ekvivalentného otepľovacieho prúdu vypočítaná podľa normy STN EN 60909-0 pre hodnotu R_{re} . Najväčšia hodnota ekvivalentného otepľovacieho prúdu pri 110 % zaťažení bola 28,38 kA, pričom pri účinníku väčšom ako 0,77 bola hodnota ekvivalentného otepľovacieho prúdu vypočítaná pomocou matematického modelu popísaného v kapitole II menšia ako hodnota ekvivalentného otepľovacieho prúdu vypočítaná podľa normy STN EN 60909-0 pre hodnotu R_e .

Na Obr. 5. je zobrazený príklad časového priebehu prúdov vo všetkých troch fázach pri vzniku ideálneho trojfázového skratu na svorkách synchronného generátora pri 100 % zaťažení s účinníkom 0,485 indukčných pred vznikom skratu vypočítaný pomocou matematického modelu popísaného v kapitole II.



Obr. 5. Časový priebeh prúdov vo všetkých troch fázach pri vzniku ideálneho trojfázového skratu na svorkách synchronného generátora pri 100 % zaťažení s účinníkom 0,485 indukčných.

V. ZÁVER

Norma STN EN 60909-0 predstavuje základný dokument pre výpočet maximálnych (ako aj minimálnych) skratových prúdov v trojfázových sústavách. Výpočet maximálnych skratových prúdov je potrebné realizovať pre účely dimenzovania elektrických zariadení. Na účely dimenzovania elektrických zariadení z hľadiska ich mechanickej odolnosti voči silám pôsobiacim medzi vodičmi pri toku skratového prúdu je potrebné poznáť hodnotu maximálneho nárazového skratového prúdu (I_p). S cieľom dimenzovania elektrických zariadení z hľadiska ich tepelnej odolnosti pri toku skratového prúdu vodičmi je potrebné poznáť hodnotu maximálneho ekvivalentného otepľovacieho prúdu (I_{th}). Metodika výpočtu oboch týchto hodnôt uvedená v norme STN EN 60909-0 zanedbáva vplyv zaťaženia na vznik a priebeh skratových prúdov, a to aj v prípade, ak sa jedná o elektricky blízke skraty (elektricky blízke k synchronnému stroju).

Úlohou tohto článku bolo preveriť vplyv zaťaženia synchronného generátora pred vznikom ideálneho trojfázového skratu na jeho svorkách na priebeh skratových prúdov (na hodnoty maximálnych nárazových skratových prúdov a ekvivalentných otepľovacích skratových prúdov). Na tento účel bol vytvorený matematický model synchronného generátora v podobe sústavy diferenciálnych rovnic prvého rádu s konštantnou pravou stranou, ktorých riešenie je možné

nájsť analytickou metódou. Pomocou takto vytvoreného modelu bolo možné realizovať sériu výpočtov priebehov skratových prúdov na svorkách generátora pri rôznych počiatočných podmienkach (rôzna veľkosť a účinník záťaže pred skratom).

Na základe výsledkov výpočtov prezentovaných v kapitole IV tohto článku je možné povedať, že veľkosť a účinník záťaže generátora pred vznikom skratu majú významný vplyv na veľkosť nárazového skratového prúdu, ako aj na veľkosť ekvivalentného otepľovacieho skratového prúdu. Pri uvažovaní zaťaženia generátora na úrovni 50 % a viac jeho menovitého prúdu a súčasne pri veľkosti efektívnej hodnoty napäcia na svorkách generátora na úrovni 1,1-násobku menovitého združeného napäcia U_{ac} , boli pomocou komplexného modelu generátora vypočítané vyššie hodnoty nárazového skratového prúdu oproti hodnote nárazového skratového prúdu vypočítanej podľa normy STN EN 60909-0 pre známu hodnotu R_e , a to o 0,71 kA v prípade zaťaženia na úrovni 50 % a účinníku 0,485 indukčných, resp. až o 5,03 kA v prípade zaťaženia na úrovni 100 % a účinníku 0,49 indukčných.

Podobná, hoci menej výrazná situácia nastala aj pri vyhodnocovaní vplyvu zaťaženia generátora pred skratom na veľkosť ekvivalentného otepľovacieho prúdu. Pri zaťažení na úrovni 100 % boli vypočítané hodnoty (pomocou analytického modelu generátora) ekvivalentného otepľovacieho prúdu väčšie ako hodnota ekvivalentného otepľovacieho prúdu vypočítaná podľa normy STN EN 60909-0 s využitím hodnoty R_e najviac o 1,52 kA, pričom väčšie hodnoty boli získané pri účinníku záťaže menšom ako 0,74 indukčných.

Výsledky výpočtov vplyvu zaťaženia, resp. stavu generátora v momente vzniku skratu poukázali na fakt, že metodika výpočtu, hlavne maximálneho nárazového skratového prúdu podľa normy STN EN 60909-0 nie je dostatočne konzervatívna. Je možné nájsť stavy prevádzky synchronného generátora, v prípade ktorých, ak by došlo k vzniku trojfázového skratu v najnepriznateľnejších podmienkach, bola by skutočná hodnota nárazového skratového prúdu aj o 5,8 % vyššia ako hodnota vypočítaná podľa normy. Tento fakt je potrebné zohľadniť pri dimenzovaní elektrických zariadení elektricky blízkych synchronným generátorom, napríklad v rezerve na úrovni viac ako 6 % hodnoty nárazového skratového prúdu vypočítanej podľa normy STN EN 60909-0.

POĎAKOVANIE

Túto prácu podporila Vedecká grantová agentúra Ministerstva školstva, vedy, výskumu a športu Slovenskej republiky a Slovenskej akadémie vied grantom VEGA č. 1/0372/18.

LITERATÚRA

- [1] A. Margitová, *Modelovanie prechodných javov synchronných strojov*. Technická univerzita v Košiciach, 2017, diplomová práca.
- [2] J. Džmura, *Úvod do stability prenosu elektrickej energie*. Technická univerzita v Košiciach, 2012.
- [3] M. Kolcun et al., *Analýza elektrizačnej sústavy*. Technická univerzita v Košiciach, 2005.
- [4] L. Reiss, *Teoretická elektroenergetika II*. Bratislava: Alfa, 1979.
- [5] M. Kanálik, "Vplyv parametrov synchronného generátora na dobu horenia oblúka pri vypinani skratu," in *Elektroenergetika*, vol. 7, 2014, pp. 23-27.
- [6] STN EN 60909-0, *Skratové prúdy v trojfázových sústavách striedavého prúdu. Časť 0: Výpočet prúdov*.

nie je dnuť!

- [7] A. Blondel, "The Two-Reaction Method for Study of Oscillatory Phenomena in Coupled Alternators," in *Revue Générale de L'Électricité*, vol. 13, 1923.
- [8] R. E. Doherty and C. A. Nickle, "Synchronous Machines I and II," in *AIEE Trans.*, vol. 45, 1926, pp. 912-942.
- [9] R. H. Park, "Two-Reaction Theory of Synchronous Machines - Generalized Method of Analysis - Part I and Part II," in *AIEE Trans.*, vol. 48, 1929, pp. 716-727; vol. 52, 1933, pp. 352-355.
- [10] C. Concordia, *Synchronous Machines*. John Wiley & Sons, 1951.
- [11] E. W. Kimbark, *Power System Stability, Vol. III: Synchronous Machines*. John Wiley & Sons, 1956.
- [12] J. Machowski, J. W. Bialek, and J. R. Bumby, *Power System Dynamics: Stability and Control*. 2nd ed., John Wiley & Sons, 2008.
- [13] D. Medved', "Modeling of Power Systems Using of Matlab/SimPowerSystem," in *Elektroenergetika*, vol. 5, 2012, pp. 42-44.
- [14] J. Kozák and D. Medved', "Riešenie prechodných dejov a ich eliminácia využitím EMTP ATP," in *Electrical Engineering and Informatics IV*, 2013, pp. 418-423.
- [15] L. Cigánek, *Stavba elektrických strojov*. Praha: SNTL, 1958.
- [16] G. N. Petrov, *Elektrické stroje I*. Praha, 1980.
- [17] P. Kundur, *Power System Stability and Control*. McGraw-Hill, 1994.
- [18] K. R. Padhyar, *Power System Dynamics: Stability and Control*. 2nd ed., BS Publications, 2008.
- [19] P. M. Anderson and A. A. Fouad, *Power System Control and Stability*. 1st ed., Iowa State University Press, 1977.
- [20] H. Saadat, *Power System Analysis*. McGraw-Hill, 1999.
- [21] A. Margitová, "Dynamic Modeling of a Synchronous Machine," in *SCYR 2018*, Košice: TU, pp. 83-87.
- [22] TNI IEC/TR 60909-1, *Výpočet skratových prúdov v trojfázových striedavých sústavách. Časť 1: Súčinitele na výpočet skratových prúdov v trojfázových striedavých sústavách podľa IEC 60909*.
- [23] J. C. Das, *Power System Analysis: Short-Circuit Load Flow and Harmonics*. Marcel Dekker, 2002.

ADRESY AUTOROV

Martin Kanálik, Technická Univerzita Košice, Katedra elektroenergetiky, Mäsiarska 74, Košice, SK 04210, Slovenská Republika, Martin.Kanalik@tuke.sk

Anastázia Margitová, Technická Univerzita Košice, Katedra elektroenergetiky, Mäsiarska 74, Košice, SK 04210, Slovenská Republika, Anastazia.Margitova@tuke.sk